Révision: 6802

Date: 01/08/2011 Page: 1/9

Clé: V2.02.133

Titre : SDLL133 - Calcul des modes propres précontraints d[...]

Responsable : Nicolas BRIE

SDLL133 - Calcul des modes propres précontraints d'une roue aubagée

Résumé:

L'objectif de ce cas-test est de calculer les modes propres précontraints d'une roue aubagée. La précontrainte est obtenue en appliquant une rotation à la roue et en bloquant une des ailettes.

Deux modélisations sont effectuées:

- Modélisation A : on modélise avec des éléments 3D l'ensemble de la roue,
- Modélisation B : on modélise avec des éléments 3D uniquement une ailette sur laquelle on applique des conditions de symétrie cyclique.

Pour chacune des deux modélisations, on effectue un premier calcul en statique non linéaire pour trouver les contraintes, puis une analyse modale pour obtenir les modes propres précontraints.

Date: 01/08/2011 Page: 2/9 Responsable: Nicolas BRIE Clé: V2.02.133 Révision: 6802

Problème de référence

1.1 Géométrie

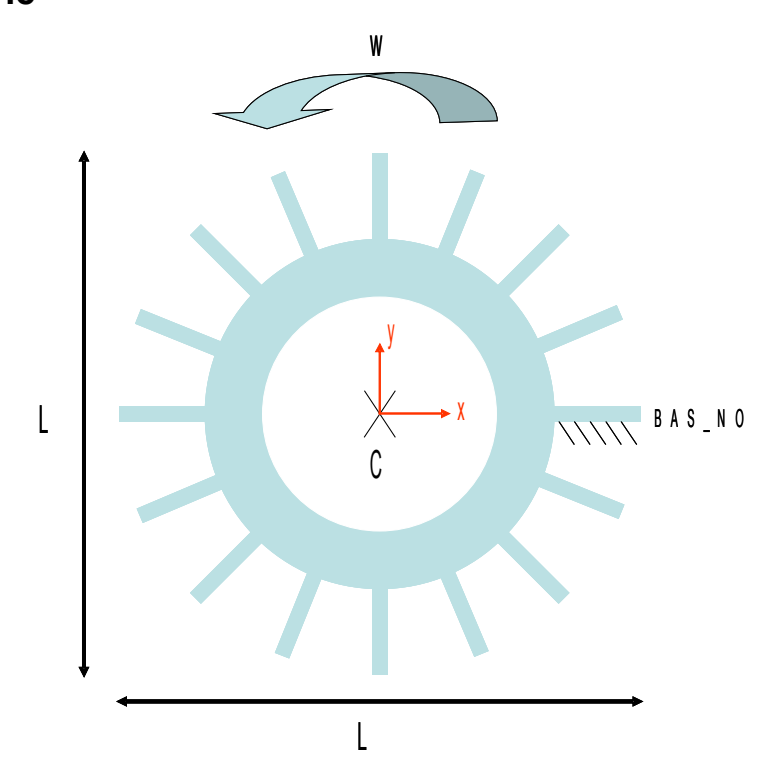


Figure 1.1: Géométrie de la roue

Coordonnées des points (m): C:(0.0,0.0,0.0)

Géométrie de la roue (m):

- Diamètre L:7.75
- épaisseur (selon axe z): 0.09

1.2 Propriétés élastiques du matériau

On utilise un modèle d'écrouissage linéaire.

- Module d'Young, $E = 7.1 \times 10^{10} Pa$
- Coefficient de Poisson, v = 0.3
- Densité volumique, $\rho = 7820.0 \, kg \cdot m^{-3}$
- Pente de la courbe de traction, $E_T = 0$
- Limite élastique, $\sigma = 1.\times 10^{15} Pa$

Titre : SDLL133 - Calcul des modes propres précontraints d[...]

Date : 01/08/2011 Page : 3/9

Responsable : Nicolas BRIE

Clé : V2.02.133 Révision : 6802

1.3 Conditions aux limites et chargements

Rotation imposée:

 $\omega = 157 \, rad.s^{-1}$, rotation de centre *C* (autour de l'axe *Z*)

Déplacement imposé :

BAS_NO: DX = DY = DZ = 0

2 Solution de référence

2.1 Grandeur et résultat de référence

On utilise un référence de type NON_REGRESSION pour vérifier les modes propres précontraints. On calcule les 5 plus petits modes propres. On compare les résultats par le calcul « direct » et par le calcul sur un secteur avec conditions aux limites cycliques.

2.2 Grandeur de référence

• FREQ : fréquence

2.3 Grandeur et résultat de référence

Les résultats de référence présentés ci-dessous correspondent aux résultats obtenus avec la modélisation 3D:

De l'ensemble de la roue.

Grandeur	N° mode	Référence (Hz)
FREQ	1	31.4503
	2	31.975
	3	31.975
	4	33.4833
	5	33.4833

• D'une ailette sur laquelle on applique des conditions de symétrie cyclique.

Grandeur	N° mode	Référence (<i>Hz</i>)
	1	33.4833
FREQ	2	33.4833
	3	44.8997
	4	44.8997
	5	80.2363

Date: 01/08/2011 Page: 4/9 Responsable: Nicolas BRIE Clé: V2.02.133 Révision: 6802

Modélisation A 3

3.1 Caractéristiques de la modélisation A

On modélise l'ensemble de la roue avec une Modélisation 3D.

Nombre de nœuds 9024

Nombre de mailles 5616 Soit:

> HEXA8 5616

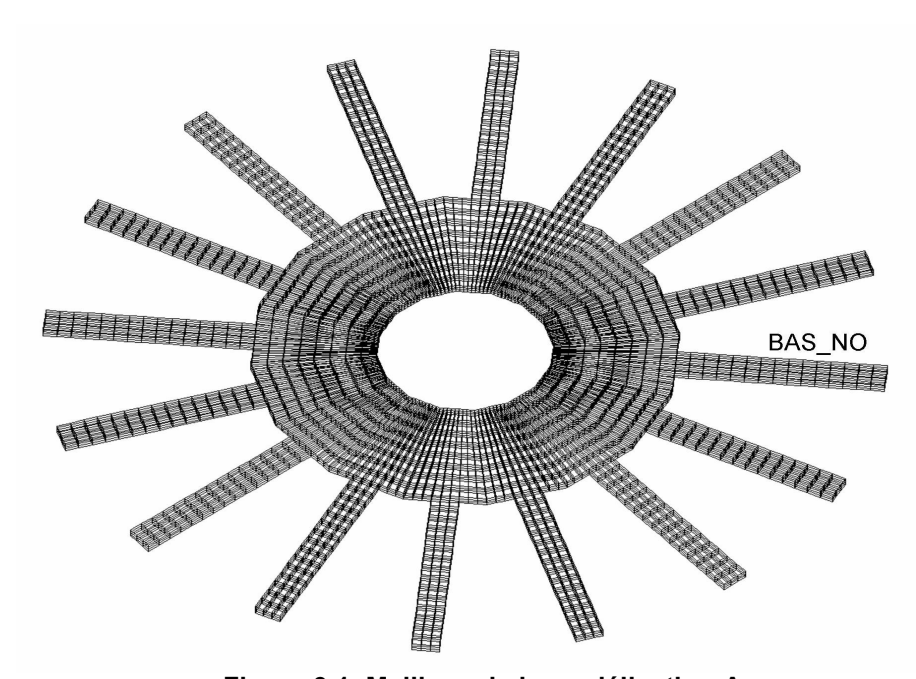


Figure 3.1. Maillage de la modélisation A

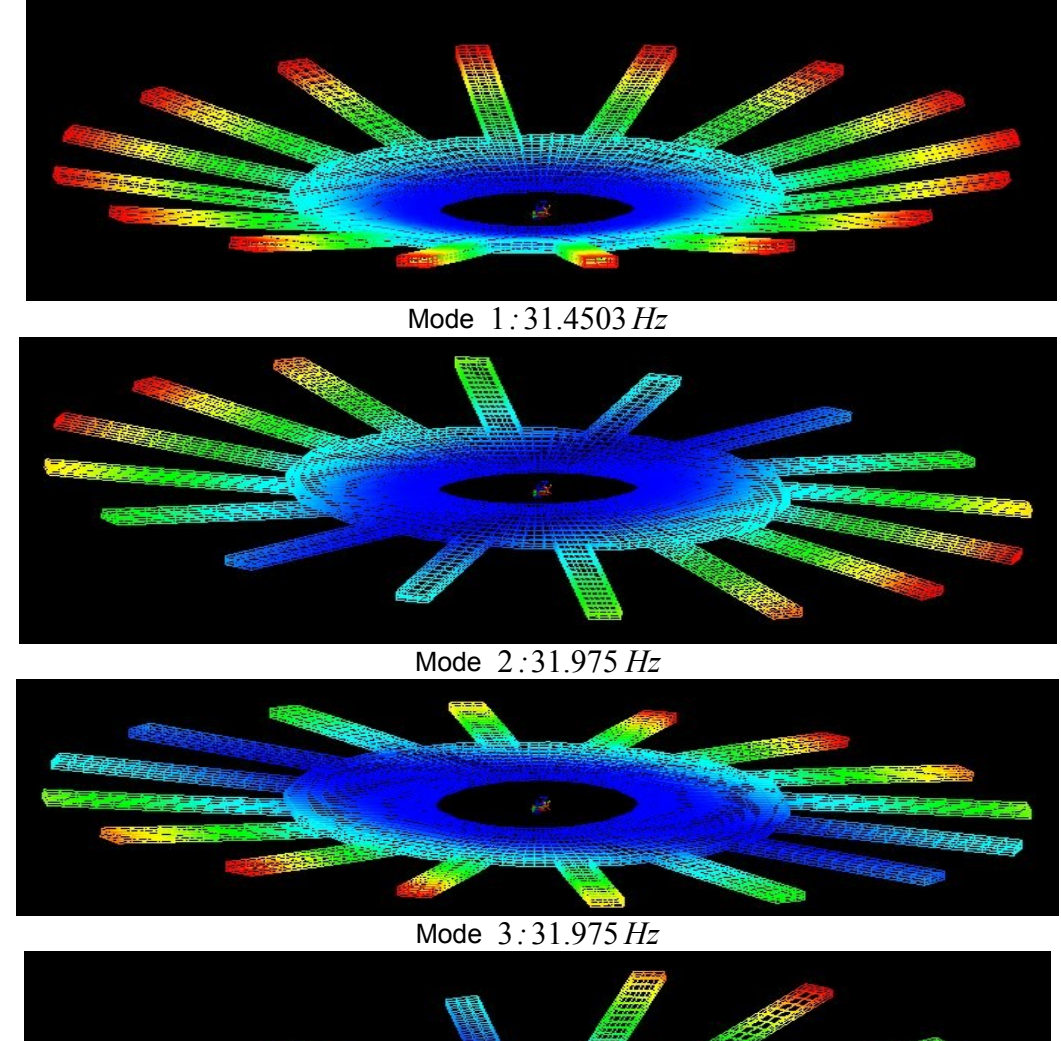
Groupe de mailles : BAS NO

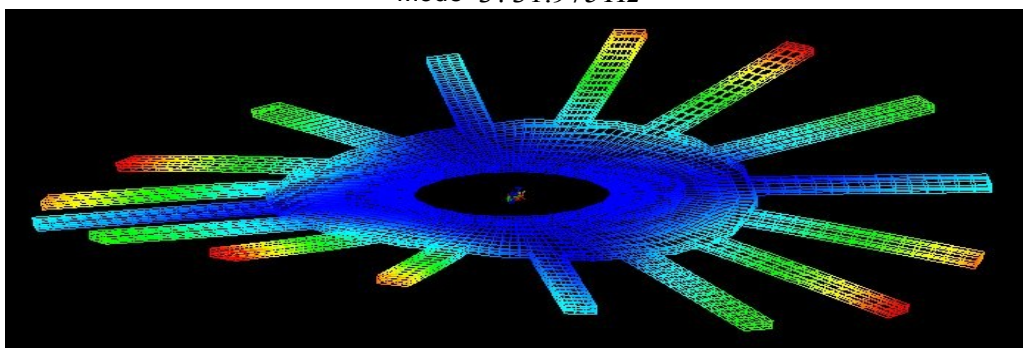
3.2 Grandeurs testées et résultats

Grandeur	N° mode	Référence (Hz)	Tolérance (%)
FREQ	1	31.4503	0.10
	2	31.975	0.10
	3	31.975	0.10
	4	33.4833	0.10
	5	33.4833	0.10

Titre : SDLL133 - Calcul des modes propres précontraints d[...]
Responsable : Nicolas BRIE

Date : 01/08/2011 Page : 5/9 Clé : V2.02.133 Révision : 6802





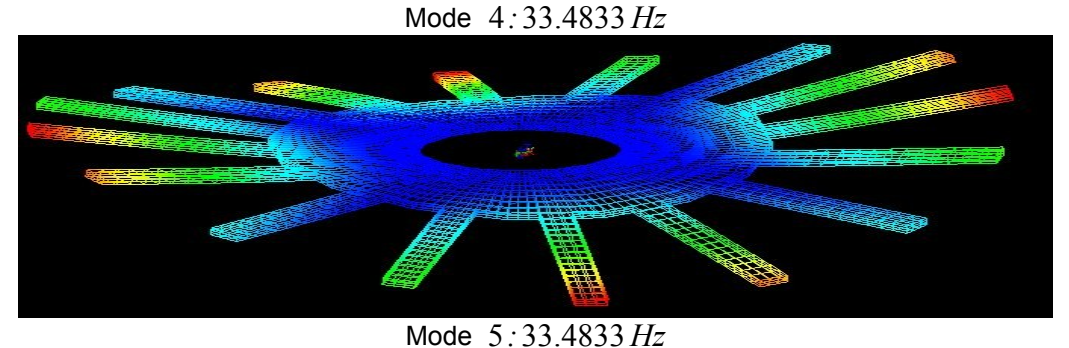


Figure 3.2. Déformées modales des premiers 5 modes propres

On observe que le premier mode n'a pas de diamètre modal, les deux suivants ont un et les quatrième et cinquième modes en montrent deux.

Date: 01/08/2011 Page: 6/9 Responsable: Nicolas BRIE Clé: V2.02.133 Révision: 6802

Modélisation B 4

4.1 Caractéristiques de la modélisation B

On modélise (Modélisation 3D), uniquement une ailette sur laquelle on applique des conditions de symétrie cyclique de diamètre double.

NB :on aurait pu choisir un autre nombre de diamètres modaux (0, 1, 3, ...)

Nombre de nœuds 600

Nombre de mailles 777 Soit:

> QUAD4 426 HEXA8 351

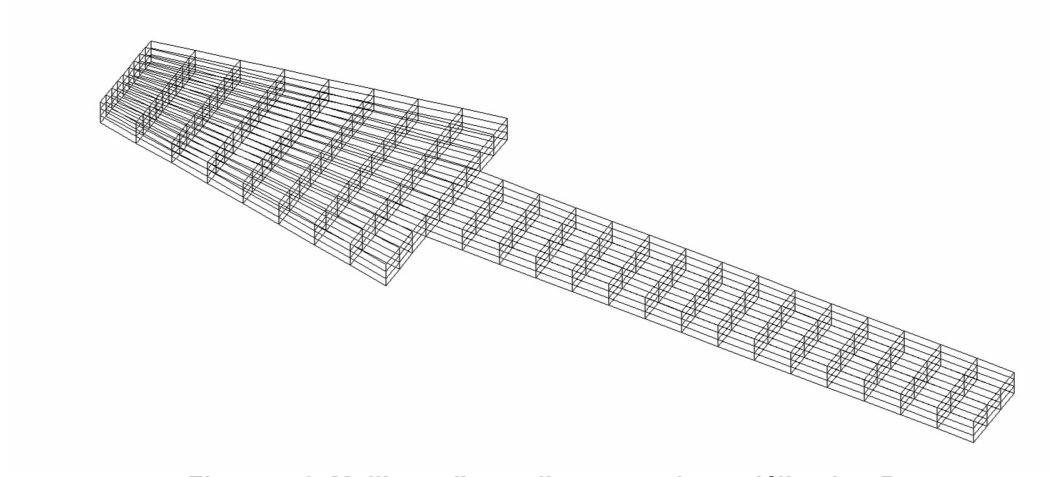
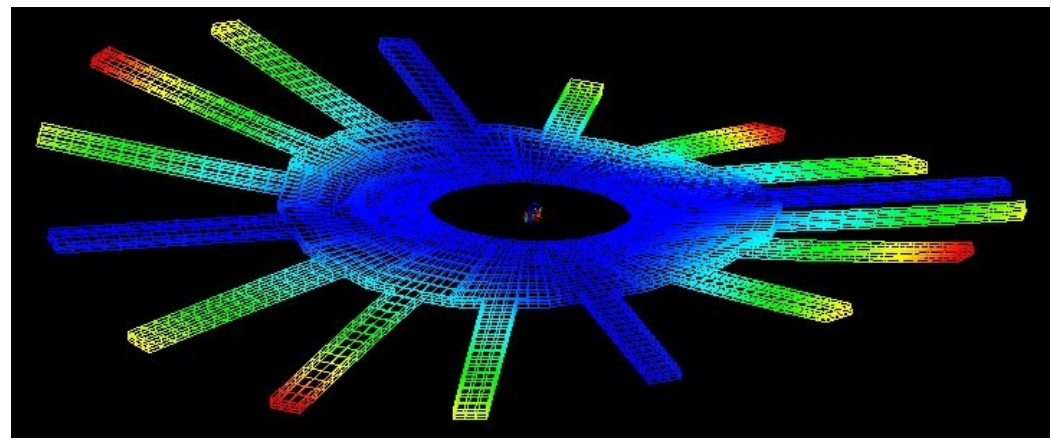


Figure 4.1. Maillage d'une ailette pour la modélisation B

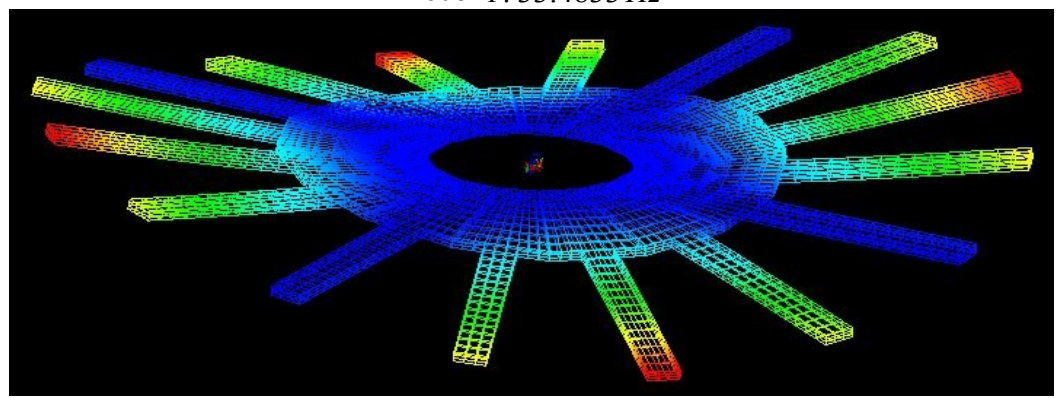
4.2 Grandeurs testées et résultats

Grandeur	N° mode	Référence (Hz)	Tolérance (%)
FREQ	1	33.4833	0.10
	2	33.4833	0.10
	3	44.8997	0.10
	4	44.8997	0.10
	5	80.2363	0.10

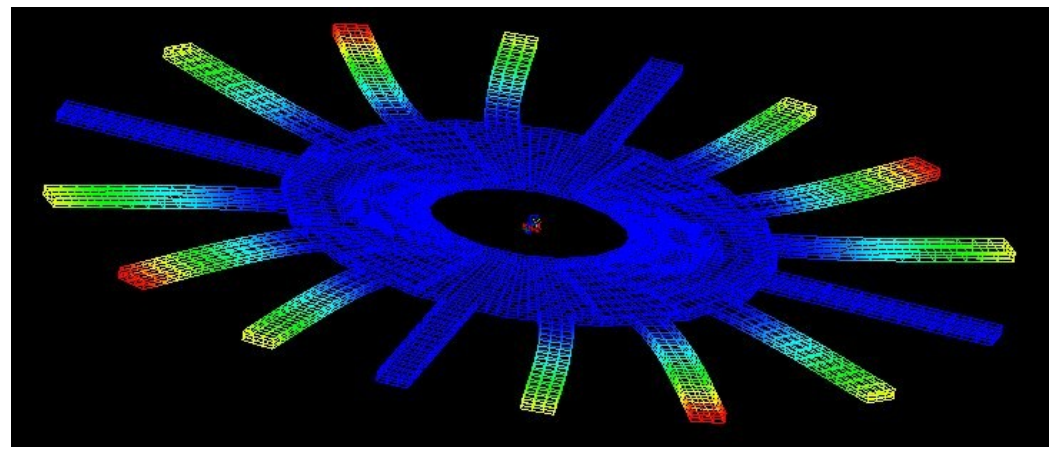
Date: 01/08/2011 Page: 7/9 Responsable : Nicolas BRIE Clé: V2.02.133 Révision: 6802



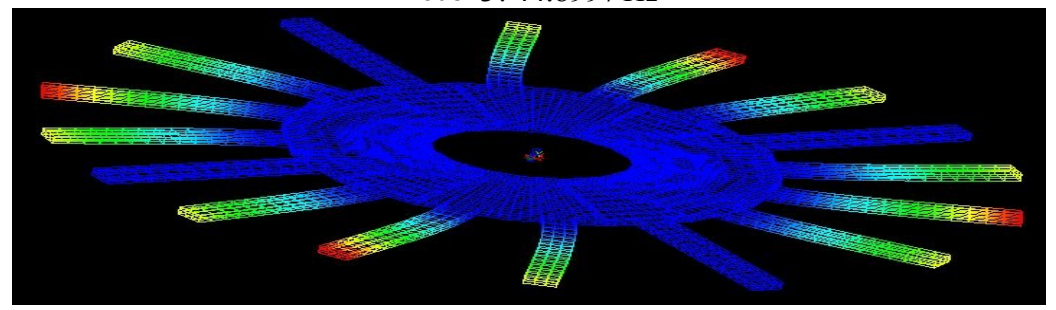
Mode 1:33.4833 Hz



Mode 2:33.4833 Hz

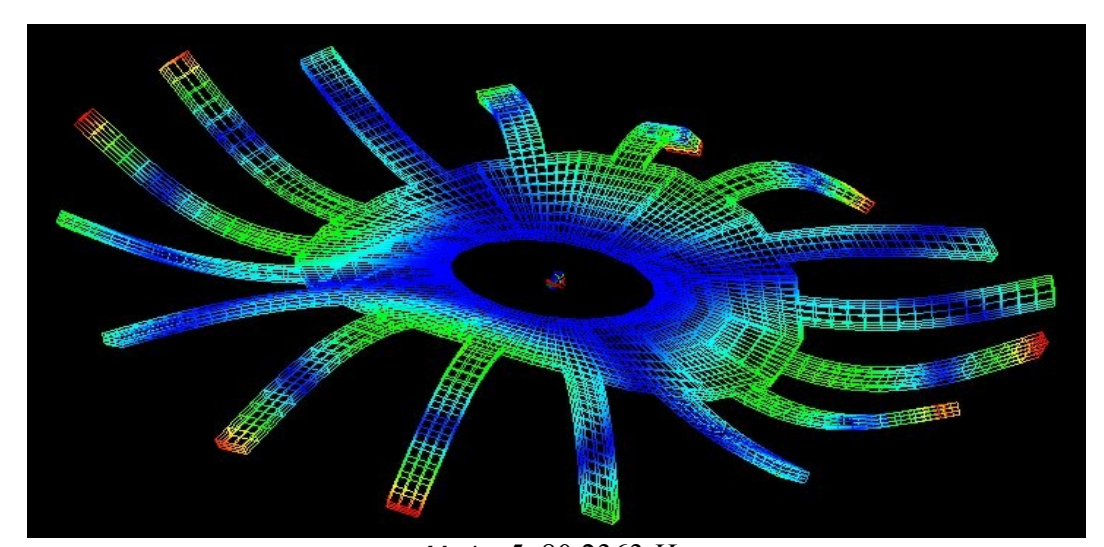


Mode 3:44.8997 Hz



Mode 4:44.8997 Hz

Date: 01/08/2011 Page: 8/9 Responsable : Nicolas BRIE Clé: V2.02.133 Révision: 6802



Mode 5:80.2363 Hz

Figure 4.2 Les déformées modales des 5 premiers modes propres de diamètre 2

Date: 01/08/2011 Page: 9/9 Responsable: Nicolas BRIE Clé: V2.02.133 Révision: 6802

Synthèse des résultats 5

Les résultats obtenus sont satisfaisants. On observe une bonne correspondance entre le calcul « global » et le calcul sur un secteur avec condition de symétrie cyclique de diamètre double.

Bien sûr on ne retrouve pas dans la modélisation B ni le premier mode propre, qui ne possède aucun diamètre modal, ni les deux modes propres suivants, qui correspondent à des modes à un diamètre modal.

Modélisation A (3D)		Modélisation B (3D, symétrie cyclique)	
N° mode	Fréquence (<i>Hz</i>)	N° mode	Fréquence (<i>Hz</i>)
1	31.4503		
2	31.975		
3	31.975		
4	33.4833	1	33.4833
5	33.4833	2	33.4833
		3	44.8997
		4	44.8997
		5	80.2363